

پارامترهای مؤثر بر شیرهای کنترلی اتوماتیک شکست خط در خطوط انتقال گاز

مهدی محمودی (دکتری تخصصی)

مهدی‌گرجی بندپی^{*} (استاد)

دانشکده‌ی مهندسی مکانیک، دانشگاه صنعتی نوشروانی، بافق

شیرهای کنترلی اتوماتیک شکست خط در مناطقی با عدم دسترسی به شبکه‌ی سراسری برق، دارای شرایط صعب‌العبور با هدف نیاز به ایجاد شرایط پدافند غیرعامل، یا حفاظت از اکوسیستم روزی شیرهای خطوط انتقال گاز نصب می‌شود. اثر مشخصه‌های قطر اوریفیس، فشار اولیه خط و نرخ افت فشار ناشی از شکست خط بر عملکرد این نوع شیرها به صورت آزمایشگاهی با گاز نیتروژن بررسی شد. بیشینه اختلاف فشار طرفین شیر دیافراگمی مبنای تنظیم این نوع شیرهای کنترلی اتوماتیک است. با افزایش نرخ افت فشار شکست خط، کاهش قطر اوریفیس یا کاهش فشار اولیه خط، اختلاف فشار طرفین شیر دیافراگمی افزایش می‌یابد. مقدار زمان دستیابی به این اختلاف ذشار بیشینه فقط به اندازه قطر اوریفیس بستگی دارد و با افزایش قطر اوریفیس، کاهش می‌یابد. نمودار اختلاف فشار بیشینه بر حسب نرخ افت فشار شکست برای مقادیر مختلف فشارهای اولیه خط و قطرهای اوریفیس ارائه شده است.

واژگان کلیدی: شکست خط، شیر کنترلی، قطر اوریفیس، نرخ افت فشار، بررسی آزمایشگاهی.

mehdymahmoodi@gmail.com
gorji@nit.ac.ir

۱. مقدمه

هستند که به وسیله‌ی منابع انرژی نصب شده روی آن‌ها از جمله‌های نیتروژن، روغن فشرده، فنر یا فشار خط به منظور عملکرد خودکار، کنترل از راه دور یا حالتی که نیروی زیادی برای تغییر وضعیت شیر - اعم از بازو و بسته کردن یا کنترل دبی عبوری نیاز است، استفاده می‌شوند.^[۱]

اجزای عملگر شیر کنترلی اتوماتیک مطابق شکل ۱ عبارت است از ۱. فنر؛ ۲. راهنمای فنر؛ ۳. شاتون و میله‌های راهنمای پیستون؛ ۴. سیلندر؛ ۵. استاپ؛ ۶. فلنچ؛ ۷. یوک؛ ۸. محافظ فنر؛ ۹. نگهدارنده فنر؛^[۲] ۱۰. فشار عملکردی مورد نیاز شیر کنترلی، به طور مستقیم از فشار خط لوله (در خطوط انتقال گاز) یا از فشار تانک مجرای نیتروژن (در خطوط انتقال نفت)، وارد مخازن روغن شیر کنترلی می‌شود (شکل ۲). با اعمال فشار مذکور بر روغن موجود در مخازن، روغن پرفشار وارد سیلندر شده و میل پیستون را جابجا می‌کند. حرکت خطی لغزنده‌ی موجود در انتهای شاتون متصل به پیستون از طریق یوک به حرکت دورانی تبدیل، و سبب چرخش ساقه‌ی شیر می‌شود که در نهایت، شیر نصب شده در خط لوله، باز یا بسته می‌شود.

در تمام جهان خطوط لوله برای انتقال و توزیع آب، نفت، گاز و سایر محصولات شیمیایی سبک کاربرد گسترده دارند. مواد نفتی و گاز طبیعی، کیلومترها مسافت را از میادین استخراج و پالایشگاه‌ها تا نقاط مصرف طی می‌کنند. اغلب این خطوط از میان مناطق شلوغ شهری و نقاط دور دست همچون جنگل‌ها، مزارع و بیابان‌ها می‌گذرند. یکی از مشکلات و دغدغه‌های بسیار تأثیرگذار بر عملکرد این سیستم خطوط انتقال، وقوع شکست یا نشتی‌های شدید در طول این خطوط است. یکی از وظایف مهم در این زمینه، شناسایی نزد هنگام نشتی با شکست‌ها در خطوط انتقال و جلوگیری از هدر رoro سیالات با ارزش در حال عبور در درون لوله‌هاست. روش‌های شناسایی نشتی به طور گسترده به دو سیستم مجرای سخت‌افزاری و نرم‌افزاری تقسیم می‌شوند. در سیستم‌های سخت‌افزاری تشخیص نشتی - شامل روش‌های لوله‌کشی، آکوستیکی، کاوش گاز^[۳]، سنسور کابلی، فیبر نوری، تصویربرداری فروسرخ - ردیابی رادیویی می‌شود. برخی از سیستم‌های سخت‌افزاری تشخیص نشتی تنها به صورت دوره‌ی برای بازرسی خطوط انتقال کاربرد دارند. در مقابل، روش‌های نرم‌افزاری اجرازه‌ی پایش لحظه‌بی و سریع خطوط را فراهم می‌کنند. هرچند این روش هزینه‌ی بسیار بالایی دارد و کمتر به صورت عمومی کاربرد داشته است.

شیرهای کنترلی اتوماتیک (شکل ۱) شکست خطوط انتقال نفت و گاز ابزاری

* نویسنده مسئول

تاریخ: دریافت ۱۷ اکتوبر ۱۳۹۶، اصلاحیه ۵، ۲۳۹۶، پذیرش ۱۴ اکتوبر ۱۳۹۶.

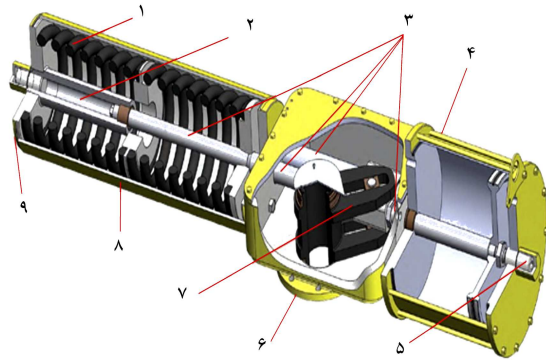
DOI: 10.24200/J40.2018.6412

۲. پیشینه‌ی تحقیق

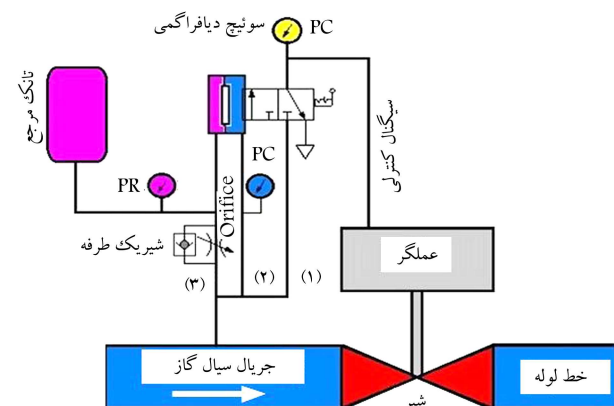
در کشورهای مختلف در سراسر نقاط جهان از جمله چین،^[۴] تعبیین مقدار اختلاف فشار تنظیمی شیرهای کنترلی اتوماتیک اغلب بر اساس نتایج آزمایش‌ها یا پیش‌بینی

قدرت از آن ارائه کردند. گوا و همکاران^[۱۸] به شبیه‌سازی نیروهای درگیر با شیرهای کنترلی دارای سیلندر یک طرفه، و نیز نیروهای تولیدی و مستهلك کننده در حضور اغتشاشاتی همچون اصطکاک پرداختند. شیرهای کنترلی اتوماتیک شکست خط به دلیل حساسیت زیاد بر نزخ تغییرات فشار نسبت به زمان، نیازمند تنظیمات دقیقی هستند که اغلب با صرف زمان و هزینه‌ی زیاد به صورت تجربی تنظیم می‌شوند و با اسکالات و خطاهای زیادی به هنگام بهره‌برداری مواجه‌اند.^[۱۹] زیرا تنظیم مقادیر اختلاف فشار در این شیرهای کنترلی نیاز به آگاهی از نزخ تغییرات افت فشار داخلی ذات سیستم کنترلی شیرا و خارجی (سیستم لوله‌کشی خطوط انتقال و میزان دبی شاخه‌های مصرفی یا تزریقی به خط لوله) دارد و تنها با کمک روابط اساسی و عمومی در مکانیک سیالات قابل رسم نیست. افت فشار خارجی در حالت طبیعی شامل افت فشار اصطکاکی در خط لوله و اتصالات آن از قبیل زانوی و ونتری و ... و نیز میزان دبی مصرفی از خطوط لوله در مسیر عبوری آن است. این نوع افت فشار طبیعی است و نباید سبب عمل کردن شیرکنترلی اتوماتیک شود. اختلاف فشار طرفین شیر اختلاف فشار با رخ دادن شکست در خط لوله با زمان تغییر می‌کند و دارای حد بیشینه‌یی است که شیرکنترلی اتوماتیک با این حد تنظیم می‌شود و با رسیدن سوچیج به این اختلاف فشار، در یک لحظه عمل کرده و شیر را می‌بندد. این اختلاف فشار طرفین سوچیج به پارامترهای مستعدی از قبیل فشار اولیه خط لوله، نزخ افت فشار خط لوله در لحظه‌ی شکست، قطر اوریفیس و هندسه‌ی اجزای شیر کنترلی، اتوماتیک در مسیر سیال واسته است.

در مورد اهمیت این موضوع می‌توان به برخی از حوادث مهم در ایالات متحده آمریکا ناشی از عملکرد ناصحیح شیرهای کترولی اشاره کرد.^[۱۶] در حادثه انفجار ۹ سپتامبر ۲۰۱۰ میلادی خط انتقال گاز (شماره ۱۳۲۲) ۳۵ اینچ شرکت الکتریک و گاز پسیفیک^۲ در شهر نفری سن برونو^۳ واقع در ۱۲ مایلی شهر سانفرانسیسکو^۴، تعداد ۸ نفر کشته، ۳۸ خانه تخریب و ۷۰ نفر مجروح شدند. در ۱۹۶۰ آگوست ۲۰۰۰ میلادی در کارلزبد^۵ (نیومکزیکو^۶) خط لوله‌ی ۳۰ اینچی انتقال گاز شرکت ال پاسو^۷ با فشار ۶۷۵ psig دچار انفجار شد که ۵۵ دقیقه آتش‌سوزی به همراه داشت. در ۲۴ مارس ۱۹۹۴ میلادی در ادیسون^۸ (نیوجرسی^۹) خط لوله‌ی ۳۶ اینچی انتقال گاز شرکت نگراس^{۱۰} شرقی با فشار ۹۷۰ psig دچار انفجار شد. در ۲۱ فوریه ۱۹۸۶ میلادی در لنکستر^{۱۱} (کشاکی^{۱۲}) خط لوله‌ی ۳۰ اینچی (شماره ۱۵۱) انتقال گاز شرکت انگراس شرقی با فشار ۹۸۷ psig دچار انفجار شد. بر مبنای مطالعات انجام شده تاکنون، تمرکز اغلب محققین بر شیرهای کترولی پرده‌دار معطوف بوده و سایر شیرهای کترولی کمتر مورد بررسی قرار گرفته است. یکی از دلایل آن، نبود داده‌های آزمایشگاهی معتبر و مناسب در این زمینه به دلیل هزینه بالای آزمایش‌های مورد نیاز است. از دلایل دیگر آن، انحصاری شدن ساخت این نوع شیرهای کترولی با سرمایه‌گذاری چند شرکت معتبر در ایتالیا و ایالات متحده‌ی آمریکا، طراحی‌های استراتژیک و حساس و نیز نقش پاداندی غیرعامل این نوع از شیرهای کترولی است. اندک مطالعات انجام شده در زمینه‌ی شیرهای کترولی اتوماتیک مربوط به کارکرد آن روی خطوط انتقال نفت و در واقع وجود کترول کننده‌ی هیدرولیکی (سیستم تشخیص شکست خط لوله) است. در زمینه‌ی عملکرد شیرهای کترولی در خطوط انتقال نفت و گاز، داده‌های آزمایشگاهی معتبر و مناسب و نیز شبیه‌سازی عددی وجود ندارد. در این مقاله تعداد ۲۷ عدد آزمایش شامل پارامترهای متغیر فشار اولیه خط لوله (برحسب بار)، نیز افت فشار ناشی از شکست خط لوله (برحسب بار بر دقیقه) و قطر اوریفیس (برحسب میلی‌متر) انجام شده که تغییرات اختلاف فشار طرفین شیر دیافراگمی با زمان در قالب ۹ شکن، شاما، ۲۷ منحنی، ترسیم شده است. در مجموعه‌ی این ۲۷ منحنی،



شکل ۱. عملکر شیرکنترلی اتوماتیک.^[۱]



شکل ۲. شماتیک شرکت‌های اتوماتیک شکست خط.

بر مبنای مقادیر به دست آمده از جریان پایدار سیال گاز در طول زمان های طولانی برای شرایط حاکم بر موقعیت شیر کترلی اتوماتیک نصب شده، انجام می گیرد. مطالعات محدودی در زمینه تی تشخیص نشتی [۸-۵] یا شکست [۱۲-۹] در خطوط انتقال گاز انجام شده است. با این وجود تعداد بسیار اندکی مقاله در زمینه تی تعیین مقدار نزخ افت فشار تنظیمی شیر کترلی اتوماتیک وجود دارد. [۱۲] رو و همکاران [۱۳] به منظور ارزیابی تعیین مقدار مریوط به پارامتر اختلاف فشار عملگرهای نصب شده به صورت متواالی در خط لوله، دوازده عدد از خطوط انتقال گاز چین را به کمک نرم افزار Pipeline Studio در حالت یک بعدی مورد مطالعه قرار دادند. آنها نشان دادند که نزخ افت فشار با افزایش دبی عبوری سیال یا فشار عملکردی خط، افزایش می یابد. تعیین مقدار اختلاف فشار تنظیمی عملگر، بازنتابندی دقت و عملکرد مکانیکی در رکترین زمان ممکن است. در تمام شرایط عملکردی، استفاده از عملگرهای اتوماتیک با سیستم تشخیص شکست خط - به دلیل نیازشان به دقت بسیار زیاد در تنظیمات - توصیه نمی شود. [۱۴] می توان در برخی از شرایط عملکردی از عملگرهای کترل از راه دور یا دستی استفاده

مارتون و همکاران^[۱۵] مدلی خطی و وابسته به سرعت سیال روغن به منظور محاسبه‌ی تلفات اصطکاکی ارائه دادند. در این مدل، اصطکاک با استفاده از مدل نمایی تعریف و الگوریتم تکرارشونده‌ی برای تعیین پارامترهای مدل اصطکاکی ارائه شده است. لی و همکاران^[۱۶] تغییرات دمایی در بخش هیدرولیکی شیرهای کنترلی الکتروهیدرواستاتیکی را مدل سازی و شبیه‌سازی عددی کردند. هاریس و همکاران^[۱۷] روشن، بهمیه سازی مصرف انرژی شرکت آلمانی، الکترونوماتیک، را با هدف کسب بیشتر

وارد شده و سبب حرکت شاتون می‌شود و به دلیل اتصال لوزنده به شاتون، لوزنده در شیار یوک حرکت کرده و دوران یوک و در نتیجه دوران ساقه‌ی شیر را به همراه دارد که درنهایت سبب چرخش شیر می‌شود. با توجه به تعداد متغیرها در جدول ۱، تعداد آزمایش‌ها ۲۷ عدد خواهد بود. پارامتر فشار اولیه‌ی خط لوله مقادیر ۴۰، ۶۵ و ۸۵ می‌توان برای شرایط متفاوت عملکردی شامل متغیرهای فشار اولیه خط لوله، نزح افت فشار ناشی از شکست خط لوله و قطر اوریفیس، اوریفیس مورد نظر را انتخاب کرد.

۱ و ۱/۵ میلی‌متر را شامل می‌شوند. در هر آزمایش یک ترکیب سه‌گانه‌ی متفاوت از پارامترهای قطر اوریفیس، نزح افت فشار شکست خط و فشار اولیه خط لوله انتخاب می‌شود و نمودار اختلاف فشار طرفین شیر دیافراگمی بر حسب زمان برای ثبت داده‌ها در مدت زمان اجرای هر آزمایش (۱۸۰ ثانیه) ترسیم می‌شود. بستر آزمایشگاهی در شکل ۳ آمده است که شامل: ۱. شبیه‌ساز خط لوله (مخزن تحت فشار)، ۲. مجموعه سیلندر و پیستون، ۳. مخازن روغن عملکر (دو عدد)، ۴. مخزن مرجع، ۵. فشارسنج، ۶. رایانه، ۷. کپسول نیتروژن، ۸. نیروسنج، ۹. فلنج شیر، ۱۰. انتقال‌دهنده‌ی فشار، ۱۱. مجموعه‌ی قطر اوریفیس، ۱۲. شیر دیافراگمی است. به جای سیال گاز پرفشار در خط لوله از نیتروژن فشرده در آزمایش استفاده شد. در این بستر آزمایشگاهی از یک لوله‌ی دو سرتمه به نام «مخزن تحت فشار» به عنوان شبیه‌ساز خط لوله استفاده شده که توسط یک کپسول نیتروژن به فشار مورد نظر می‌رسد و با یک شیر اطمینان وضعیت حد بالای فشار آن کنترل می‌شود. پس از تأمین فشار اولیه خط لوله - با بستن شیر کپسول - از مدار آزمایش خارج می‌شود.



شکل ۳. بستر آزمایشگاهی مورد مطالعه.

۲۷ عدد نقطه‌ی بیشینه اختلاف فشار طرفین شیر دیافراگمی وجود دارد که به عنوان نقاط عملکردی در عملکردها محسوب می‌شود. با استفاده از این ۲۷ نقطه‌ی بیشینه، شکل ۱۳ ترسیم شده است که به عنوان مبنای طراحی و بهره‌برداری از این نوع عملکردها مورد استفاده قرار می‌گیرد. بنابراین به کمک شکل ۱۳ می‌توان برای شرایط متفاوت عملکردی شامل متغیرهای فشار اولیه خط لوله، نزح افت فشار ناشی از شکست خط لوله و قطر اوریفیس، اوریفیس مورد نظر را انتخاب کرد.

۳. تعریف هندسه و طراحی آزمایش

فشار سیال گازی از طریق لوله ارتباطی به شیر کنترلی اتوماتیک منتقل شده و به سه شاخه تقسیم می‌شود. یک مسیر آن به سمت شیر پنوماتیکی نرمال بسته ۳/۲ می‌رود و به دلیل بسته بودن این شیر، سیال پرفشار در مسیر ۱ در حالت انتظار می‌ماند (شکل ۲). شیر پنوماتیکی نرمال بسته ۳/۲ در واقع شیری است با دو حالت مختلف، که در هر حالت آن سه ورودی یا خروجی برای سیال وجود دارد. مسیر ۳ حاوی سیال پرفشار با عبور از مجموعه‌ی شامل اوریفیس و شیر یک‌طرفه به دو شاخه تقسیم می‌شود. یک شاخه از آن به سمت چپ شیر دیافراگمی ۱۳ و شاخه‌ی دیگر این مسیر به سمت مخزن مرجع ۱۴ می‌رود. فشار مسیرهای ۲ و ۳ به ترتیب PS و PR در هر لحظه از طریق انتقال‌دهنده‌ی فشار ۱۵ قابل انتقال و ثبت در رایانه است. مخزن مرجع، هنگامی که سیال خط لوله مایع باشد، یک مخزن تحت فشار است که دیافراگمی درون آن قرار دارد و در پشت این دیافراگم، فنری تعییه شده که فشار سیال سبب جمع شدن فنر شده و مخزن از سیال مایع (اغلب روغن هیدرولیک) پر می‌شود. در هنگام نصب روی خطوط لوله انتقال گاز به دلیل قابلیت تراکم پذیری سیال گازی، هنگامی که سیال خط لوله مایع باشد، یک مخزن تحت فشار است که دیافراگمی درون آن قرار دارد و در پشت این دیافراگم، فنری تعییه شده که فشار سیال سبب جمع شدن فنر شده و مخزن از سیال مایع (اغلب روغن هیدرولیک) پر می‌شود. هنگام نصب روی خطوط لوله انتقال گاز، به دلیل قابلیت تراکم پذیری سیال گازی، نیازی به تعییه دیافراگم در مخزن نیست. هنگامی که سیال خط لوله مایع است، در مسیر لوله‌ی ارتباطی که از خط لوله وارد می‌شود، یک فیلتر جداکننده ۱۶ قرار داده می‌شود تا از ورود سیال کثیف نفتی به سیستم جلوگیری به عمل آید. فشار سیال نفتی ورودی، موجب حرکت دیسک و فشرده کردن روغن روغن هیدرولیک در سیستم می‌شود. اگر شکستی در خط لوله به وقوع بیرونی داده شود، سبب ایجاد افت فشار در خط لوله شده و فشار در سمت راست شیر دیافراگمی نیز به دلیل ارتباط مستقیم و بدون واسطه با خط لوله به طور مشابه و همزمان با تغییرات فشار در خط لوله تغییر می‌کند ولی فشار در سمت چپ شیر دیافراگمی باید از مجموعه‌ی شامل اوریفیس و شیر یک‌طرفه عبور کند؛ چون شیر یک‌طرفه به سیال اجازه‌ی عبور نمی‌دهد، ناچاراً باید سیال گازی را از اوریفیس عبور داد و این موضوع سبب تغییر نزح افت فشار در طرفین شیر دیافراگمی ایجاد می‌شود و پایین تر بودن فشار در سمت راست دیافراگم، سبب حرکت دیافراگم به سمت راست شده و تغییر وضعیت شیر ۳/۲ پنوماتیکی را به همراه دارد. با باز کردن مسیر ۱، در واقع سیگنالی به عملکر شیر کنترلی اتوماتیک ارسال می‌شود. ورود این سیگنال فشاری به مخزن عملکر سبب اعمال فشار موجود در مسیر ۱ به سیال روغن موجود در مخازن می‌شود. روغن پرفشار به درون سیلندرها

که فشار خط لوله به دلیل شکست در آن کاهش یابد، فشار در مخزن مرجع بیشتر از فشار خط لوله خواهد بود. هنگامی که مخزن به خط لوله متصل می‌شود، سیال به دلیل افت فشار کمتر مسیر شیر یک طرفه را به جای مسیر اوریفیس دار انتخاب می‌کند و وارد مخزن می‌شود تا به فشار خط لوله برسد. ولی در هنگام شکست خط لوله، امکان عبور سیال موجود در مخزن انباشتگر از مسیر شیر یک طرفه وجود ندارد و تنها سیال از مسیر اوریفیس دار عبور خواهد کرد؛ این موضوع سبب ایجاد یک نز افت فشار جدید در مجموعه خواهد شد که از نز افت فشار ناشی از شکست در خط لوله کمتر خواهد بود. هرچه نز افت فشار در خط لوله بزرگ‌تر با قدر اوریفیس کوچک‌تر یا حجم مخزن مرجع بیشتر باشد، اختلاف بین فشار خط لوله و فشار مخزن مرجع بیشتر خواهد بود. این اختلاف فشار به صورت مکانیکی و مداوم از طریق یک شیر دیافراگمی حس خواهد شد و لحظه‌یی که این اختلاف فشار در طرفین شیر دیافراگمی نیروی بیشتر از نیروی ناشی از بار اعمالی به فنر تولید کند، با ورود سیال پرفشار به مخازن روغن عملکر، تغییر وضعیت شیر ۳/۲ سبب بسته شدن شیر نصب شده روی خط لوله گاز می‌شود. زمانی که فشار در خط لوله کاهش می‌یابد، به دلیل وجود اوریفیس، فشار در مخزن مرجع با یک تأخیر زمانی و نیز نرخی متفاوت کاهش می‌یابد. اختلاف میان این دو فشار با گذر زمان افزایش یافته تا به یک مقدار بیشینه رسیده و پس از آن کاهش می‌یابد که در واقع بیانگر رفتار ذاتی مجموعه اوریفیس در سیستم تشخیص شکست خط عملکر شیرکنترلی اتوماتیک است. این اختلاف فشار در طرفین شیر دیافراگمی تابعی از نز افت فشار ناشی از شکست خط لوله، قطر اوریفیس و فشار اولیه خط لوله است.

نتایج مطالعه‌ی آزمایشگاهی، تا ۱۸۰ پس از ایجاد افت فشار ناشی از شکست در خط لوله را بررسی می‌کند. برای قطر اوریفیس‌های ۱، ۰/۵ و ۱/۵ میلی‌متر موجود در شیرکنترلی اتوماتیک نصب شده بر خط لوله انتقال گاز در مطالعه‌ی آزمایشگاهی حاضر، تغییرات اختلاف فشار طرفین شیر دیافراگمی با زمان برای فشار اولیه خط لوله ۴۰ بار (شکل‌های ۴ تا ۶)، برای فشار اولیه خط لوله ۶۵ بار (شکل‌های ۷ تا ۹) و برای فشار اولیه خط لوله ۸۵ بار (شکل‌های ۱۰ تا ۱۲) برآورد می‌شود. دلیل انتخاب قطر اوریفیس، فشار اولیه و نز افت فشار با مقداری ذکر شده، تعدد کاربرد این مقدار در شرکت ملی گاز ایران است. هر شیر کنترلی اتوماتیک با توجه به فشار اولیه خط لوله‌یی که بر آن نصب می‌شود، و قطر اوریفیس انتخابی برای سیستم تشخیص شکست خط آن که در واقع قلب این سیستم است، در محدوده‌ی خاصی از نز افت فشار ممکن‌الوقوع در رخداد شکست خط لوله عمل می‌کند.

با افزایش قطر اوریفیس در سیستم تشخیص شکست خط، و ثابت ماندن فشار اولیه خط لوله، هرچه نز افت فشار ناشی از شکست خط لوله بیشتر شود، اختلاف فشار طرفین شیر دیافراگمی افزایش می‌یابد. از سوی دیگر، برای یک قطر اوریفیس مشخص، زمان مورد نیاز برای رسیدن به اختلاف فشار بیشینه طرفین شیر دیافراگمی برای تمامی نزهای افت فشار ناشی از شکست خط لوله یکسان بوده و تنها به اندازه‌ی قطر اوریفیس در سیستم تشخیص شکست خط واپسی است. در واقع تنها مشخصه‌ی مؤثر در زمان وقوع اختلاف فشار بیشینه، قطر اوریفیس است و مشخصه‌هایی دیگر همچون نز افت فشار ناشی از شکست خط لوله و فشار اولیه خط لوله در مقدار این زمان اثری ندارند. با تأثیت بودن قطر اوریفیس و فشار اولیه خط لوله، تنها متغیر مورد بررسی نز افت فشار ناشی از شکست خط لوله است. هرچه نز افت فشار شکست خط لوله بیشتر باشد، جرم بیشتری از سیال درون خط لوله به اتمسفر تخلیه می‌شود. در لحظه‌ی اولیه، قبل از شکست خط لوله،

جدول ۱. تعداد متغیرهای مطالعه‌ی آزمایشگاهی.

| پارامتر | فشار اولیه‌ی خط لوله (باز) | نحو افت فشار شکست خط (بار بر دقیقه) | قطر اوریفیس (میلی‌متر) |
|---------|-------------------------------|--|---------------------------|
| تعداد | ۱۱ | ۳ | ۳ |
| ۰/۵ | ۲/۲۵، ۰/۱، ۰/۰، ۰/۵ | ۴۰ | ۴۰ |
| ۱ | ۴/۵، ۰/۴، ۰/۳، ۰/۲ | ۶۵ | ۶۵ |
| ۱/۵ | ۰/۱، ۰/۰، ۰/۵ | ۸۵ | ۸۵ |

جدول ۲. فهرست تجهیزات اندازه‌گیری.

| تجهیز | سازنده و مدل | عدم قطعیت |
|-------------------|----------------------|-----------|
| انتقال دهنده فشار | WIKA, Class : A10 | ±۰/۰۵% |
| فشارسنج | WIKA, Type : ۳۲۲، ۵۴ | ±۰/۲۵% |

برای ایجاد افت فشار ناشی از شکست خط به واسطه‌ی خروج سیال از مخزن تحت فشار شیوه‌ساز خط لوله، شیری به وسیله‌ی لوله رابط روی آن نصب شده و با تنظیم میزان دبی خروجی سیال نیتروژن موجود در شیوه‌ساز خط لوله با کمک یک شیر مدرج می‌توان افت فشار میانگین مورد نظر را به خط لوله اعمال کرد. فشار مسیرهای ۲ و ۳ از طریق انتقال دهنده فشار به رایانه ارسال و ثبت می‌شود. تجهیزات مورد استفاده در آزمایش به همراه عدم قطعیت آن‌ها در جدول ۲ ارائه شده است. با وجود دقت بسیار بالای تجهیزات اندازه‌گیری مورد استفاده در این آزمایش، کالیبراسیون انجام شد. نمودار اختلاف فشار شیر دیافراگمی بر حسب زمان برای ثبت داده‌ها در مدت زمان اجرای سه دقیقه‌یی هر آزمایش هر ۲۰ ثانیه یکبار ثبت و ترسیم شده است. هر شرط آزمایشی برای اطمینان از مجاز بودن مقدار عدم قطعیت داده‌های آزمایشگاهی ثبت، و اندازه‌گیری‌ها به تعداد ۳ مرتبه تکرار شد، که با در نظر گرفتن ($n = 3$) در معادله‌ی ۱، مقدار میانگین به دست آمد. در هر سه مرتبه تکرار مقدار انحراف مطلق و انحراف میانگین برای داده‌های تکرار شونده از یک شرط عملکردی یکسان به ترتیب با معادلات ۲ و ۳ قابل محاسبه است.

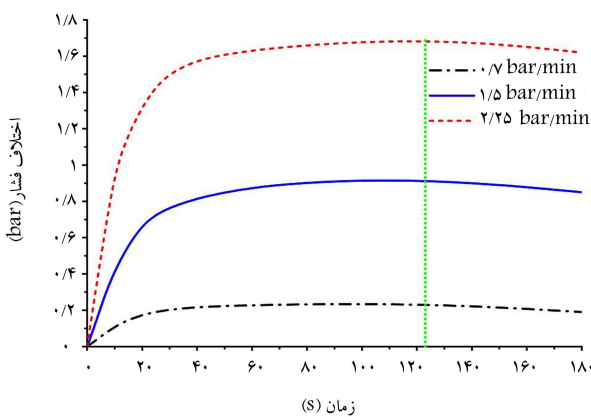
$$\bar{X} = \frac{1}{n} \sum_{i=1}^n x_i \quad (1)$$

$$d_i = x_i - \bar{X} \rightarrow \sum_{i=1}^n d_i = 0 \quad (2)$$

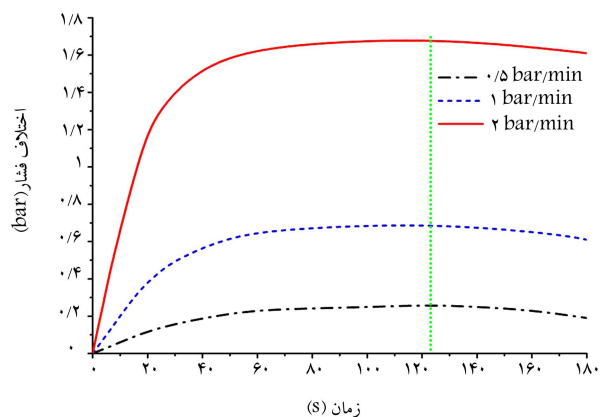
$$D = \frac{|d_1| + |d_2| + \dots + |d_n|}{n} = \frac{1}{n} \sum_{i=1}^n |d_i| \quad (3)$$

۴. بحث بر نتایج آزمایشگاهی

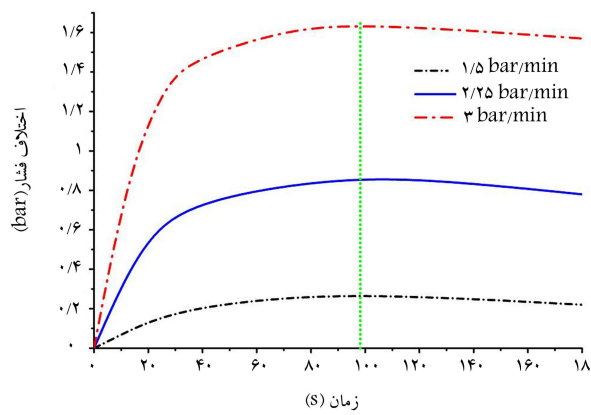
شیرکنترلی اتوماتیک در واقع ابزاری کاملاً مکانیکی برای بستن شیرهای ربع‌گرد در خطوط انتقال نفت و گاز به هنگام رخداد پدیده شکست در خطوط لوله است. شکست در خط لوله سبب افزایش سرعت گاز و در نتیجه افزایش سیستم شکست خط لوله ای از شیر می‌شود، ولی نمی‌توان از این ویرگی به عنوان سیگنالی برای عملکرد سیستم تشخیص شکست خط لوله استفاده کرد زیرا، مثلاً هنگامی که شیر کاملاً باز است، مقدار افت فشار بسیار ناچیز است. اگر یک مخزن مرجع به همراه مجموعه‌یی شامل اوریفیس و شیر یک طرفه را به وسیله‌ی لوله‌های رابط به خط لوله متصل کنیم، فشار در مخزن به طور آنی با فشار خط لوله برابر می‌شود اما زمانی



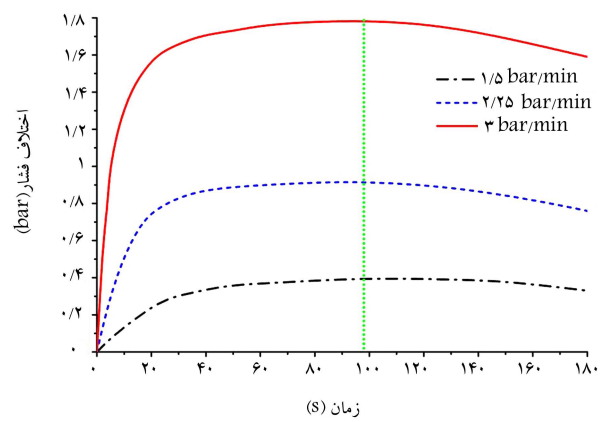
شکل ۷. اختلاف فشار طرفین شیر دیافراگمی بر حسب زمان برای فشار اولیه خط لوله ۶۵ بار و قطر اوریفیس 5 mm .



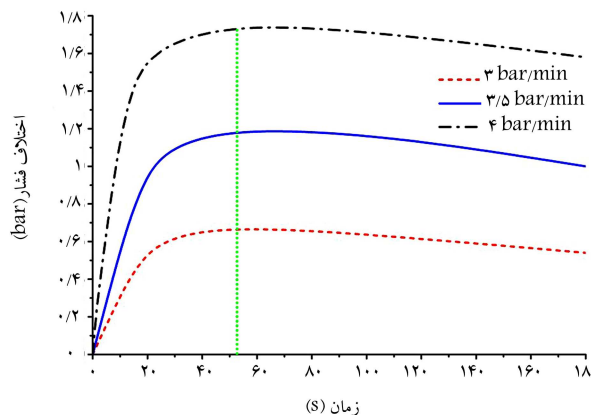
شکل ۴. اختلاف فشار طرفین شیر دیافراگمی بر حسب زمان برای فشار اولیه خط لوله ۴۰ بار و قطر اوریفیس 5 mm .



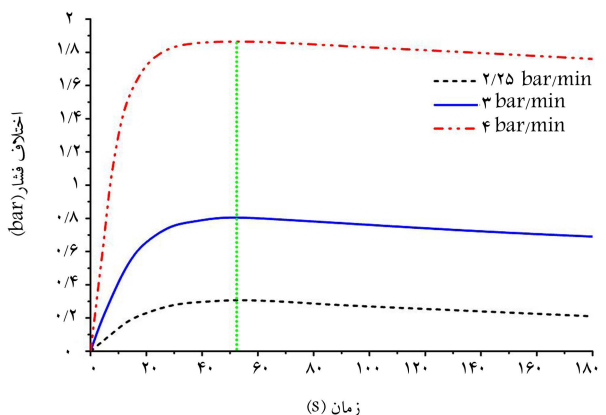
شکل ۸. اختلاف فشار طرفین شیر دیافراگمی بر حسب زمان برای فشار اولیه خط لوله ۶۵ بار و قطر اوریفیس 1 mm .



شکل ۵. اختلاف فشار طرفین شیر دیافراگمی بر حسب زمان برای فشار اولیه خط لوله ۴۰ بار و قطر اوریفیس 1 mm .



شکل ۹. اختلاف فشار طرفین شیر دیافراگمی بر حسب زمان برای فشار اولیه خط لوله ۶۵ بار و قطر اوریفیس $1/5\text{ mm}$.



شکل ۶. اختلاف فشار طرفین شیر دیافراگمی بر حسب زمان برای فشار اولیه خط لوله ۴۰ بار و قطر اوریفیس $1/5\text{ mm}$.

شکست در خط لوله، دبی جرمی سیال خروجی از خط لوله m_{PL} همواره بزرگتر با مساوی دبی جرمی سیال خروجی از مخزن مرجع m_{ACC} است. هرچه نزدیک فشار شکست خط بیشتر باشد، دبی جرمی خروجی سیال از خط لوله بیشتر است که در واقع تفاوت مقدارهای m_{PL} و m_{ACC} بیشتر می‌شود و در نتیجه، اختلاف فشار بیشتری بین طرفین دیافراگم ایجاد می‌شود. این اختلاف فشار تا یک مقدار

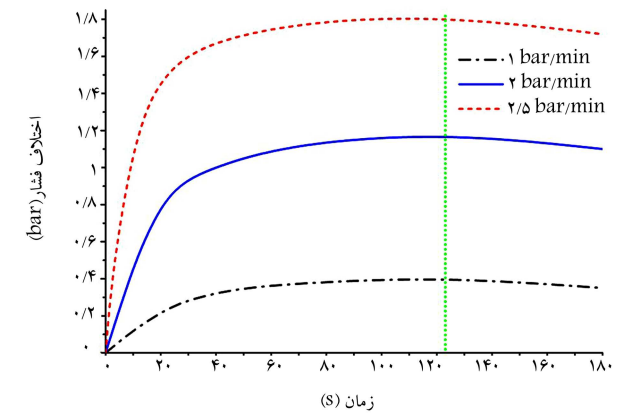
فشار سیال در تمامی نقاط سیستم تشخیص شکست خط برابر با فشار اولیه خط لوله است. در لحظه‌ی شکست خط لوله، فشار در سمتی از شیر دیافراگمی که به طور مستقیم به خط لوله متصل است، با نزدیکی افت فشار ناشی از شکست خط برابر است اما در سمت دیگر شیر دیافراگمی به دلیل عبور سیال از درون اوریفیس، نزدیک افت فشار ایجاد شده با نزدیکی افت فشار ناشی از خط لوله متفاوت است. پس از ایجاد

افزایش می‌باید، به طوری که طبق نتایج آزمایشگاهی حاصله، برای قطر اوریفیس ۵/۰ میلی‌متری زمان وقوع اختلاف فشار بیشینه در طرفین شیر دیافراگمی ۱۲۳ ثانیه، برای قطر اوریفیس ۱ میلی‌متری این زمان ۹۸ ثانیه و برای قطر اوریفیس ۱/۵ میلی‌متری ۵۳ ثانیه است.

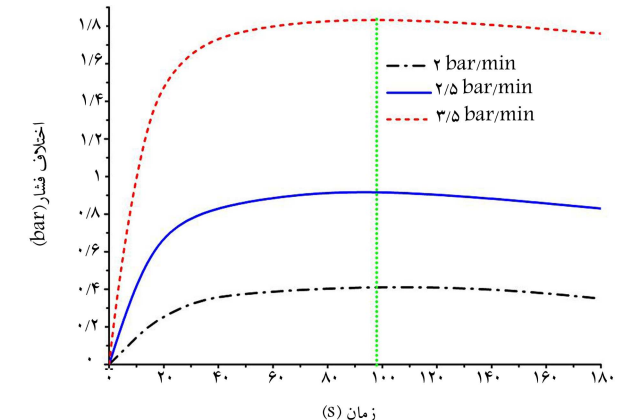
با ثابت بودن نزخ افت فشار ناشی از شکست خط لوله و نیز فشار اولیه خط لوله، تنها متغیر مورد بررسی قطر اوریفیس موجود در سیستم تشخیص شکست خط شیر کنترلی اتوماتیک است. هرچه قطر اوریفیس بزرگ‌تر باشد، دبی جرمی سیال خروجی از مخزن مرجع به واسطه اوریفیس بیشتر است که در واقع مقدار m_{ACC} به مقدار m_{PL} نزدیک‌تر است و در نتیجه، اختلاف فشار کمتری در طرفین دیافراگم ایجاد می‌شود. با ثابت بودن قطر اوریفیس و نزخ افت فشار ناشی از شکست خط، تنها متغیر مورد بررسی فشار اولیه خط لوله است و هرچه فشار اولیه خط لوله بیشتر باشد، برخورد مولکول‌های سیال با یکدیگر بیشتر است و نیروی بیشتری به یکدیگر وارد می‌کنند. در لحظه‌ی شکست خط لوله، فشار در سمتی از شیر دیافراگمی که مستقیماً به خط لوله متصل است، با نزخ افت فشار شکست خط برابر است اما در سمت دیگر شیر دیافراگمی به دلیل عبور سیال از درون اوریفیس، نزخ افت فشار ایجاد شده با نزخ افت فشار شکست خط لوله متفاوت است. این اختلاف فشار تا یک مقدار بیشینه افزایش می‌باید و پس از آن به دلیل کاهش جرم سیال در مخزن مرجع، فشار مخزن کاهش یافته و به فشار خط نزدیک می‌شود. برای نزخ ثابت افت فشار شکست خط لوله، افزایش اختلاف فشار بین مخزن مرجع و خط لوله با کاهش فشار اولیه خط لوله، افزایش می‌باید. هرچه فشار اولیه خط لوله بیشتر باشد، دبی جرمی سیال خروجی از مخزن مرجع از طریق اوریفیس نیز بیشتر است و در واقع مقدار m_{ACC} به مقدار m_{PL} نزدیک‌تر است؛ در نتیجه اختلاف فشار کمتری در طرفین دیافراگم ایجاد می‌شود. این اختلاف فشار تا یک مقدار بیشینه افزایش می‌باید و پس از آن به دلیل کاهش جرم سیال در مخزن مرجع، فشار مخزن کاهش یافته و به فشار خط نزدیک می‌شود. براساس این دیدگاه می‌توان بررسی کرد که هرچه فشار اولیه خط لوله بیشتر باشد، سرعت خروجی سیال از مخزن ابانتگر از طریق اوریفیس بیشتر است و در نتیجه افت فشار موضعی بیشتر در اوریفیس بیشتر است و نزخ افت فشار در مسیر گذر از اوریفیس به نزخ افت فشار ناشی از شکست خط نزدیک‌تر است.

به همین دلیل برای فشارهای اولیه خط لوله بزرگ‌تر، اختلاف فشار طرفین شیر دیافراگمی مقدار کمتری است. هر قطر اوریفیسی برای یک محدوده‌ی خاص از فشار اولیه خط و نزخ افت فشار ناشی از شکست خط کاربرد دارد و نمی‌توان از هر قطر اوریفیس دلخواهی برای شرایط کاری ویژه‌ی آن خط لوله و افت نشارهای طبیعی و ناشی از شکست اعمالی به آن خط استفاده کرد. برای مثال اگر قطر اوریفیس انتخابی چنان باشد که نزخ دبی جرمی خروجی از آن با نزخ دبی جرمی خروجی از خط لوله برابر باشد، سیستم تشخیص شکست خط هرگز متوجه ایجاد شکست در خط لوله نخواهد شد.

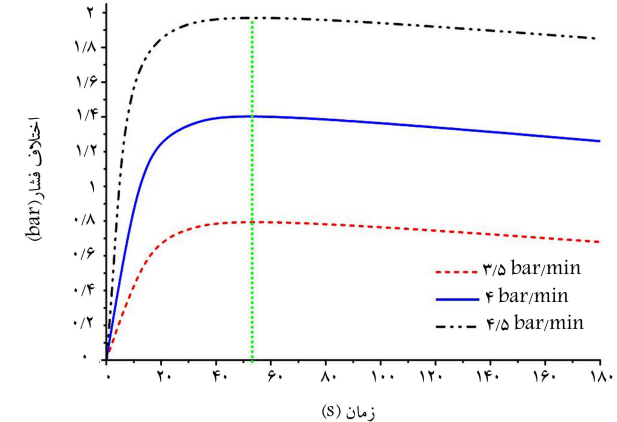
در شکل ۱۳، اختلاف فشار بیشینه بین فشار خط لوله و مخزن مرجع را برحسب نزخ افت فشار میانگین ناشی از شکست خط لوله به عنوان تابعی از قطر اوریفیس و فشار اولیه خط لوله نشان داده شده است. برای تنظیم سیستم تشخیص شکست خط، باید اطلاعات کاملی از شرایط کاری خط لوله به دست آورده؛ این پارامترها عبارت‌اند از: محدوده‌ی فشار کاری گاز، مقدار اندازه‌گیری شده‌ی افت فشار کمینه‌ی خط (در زمان کارکرد عادی و در محل نصب شیر برای کمینه، نرمال و بیشینه فشارهای کاری خط لوله) و مقدار اندازه‌گیری شده‌ی افت فشار



شکل ۱۰. اختلاف فشار طرفین شیر دیافراگمی برحسب زمان برای فشار اولیه خط لوله ۸۵ بار و قطر اوریفیس ۵/۰ میلی‌متر.



شکل ۱۱. اختلاف فشار طرفین شیر دیافراگمی برحسب زمان برای فشار اولیه خط لوله ۸۵ بار و قطر اوریفیس ۱ میلی‌متر.



شکل ۱۲. اختلاف فشار طرفین شیر دیافراگمی برحسب زمان برای فشار اولیه خط لوله ۸۵ بار و قطر اوریفیس ۱/۵ میلی‌متر.

بیشینه افزایش می‌باید و پس از آن به دلیل کاهش جرم سیال در مخزن مرجع، فشار مخزن کاهش می‌باید و به فشار خط نزدیک می‌شود. با کاهش قطر اوریفیس و ثابت ماندن نزخ افت فشار ناشی از شکست خط، اختلاف فشار بین مخزن مرجع و خط لوله (اختلاف فشار طرفین شیر دیافراگمی) افزایش می‌باید. از سوی دیگر، با کاهش قطر اوریفیس، زمان دست‌بابی به اختلاف نشار بیشینه‌ی طرفین شیر دیافراگمی نیز

جدول ۳. داده‌های آزمایشگاهی.

| فشار اولیه عملکردی خط لوله (بار) | | | | | | | | | | | قطر اوریفیس (میلی‌متر) |
|----------------------------------|------|------|------|------|------|------|------|------|---------------------------|--------------------------------|---------------------------|
| ۸۵ | ۸۵ | ۸۵ | ۶۵ | ۶۵ | ۶۵ | ۴۰ | ۴۰ | ۴۰ | ۴۰ | ۴۰ | |
| ۲,۲۵ | ۲ | ۱ | ۲,۲۵ | ۱,۵ | ۰,۷ | ۲ | ۱ | ۰,۵ | ۰,۵ | نرخ افت فشار (بار برابر دقیقه) | |
| ۱,۸ | ۱,۱۸ | ۰,۳۶ | ۱,۶۵ | ۰,۸۵ | ۰,۱۹ | ۱,۶۹ | ۰,۶۴ | ۰,۲۲ | ۰,۵ | بیشینه اختلاف فشار (بار) | |
| ۱۰ | ۱۱,۳ | ۱۰,۲ | ۸,۸ | ۹,۷ | ۸,۶ | ۱۰,۱ | ۱۱,۸ | ۱۳,۹ | انحراف میانگین (میلی‌بار) | | |
| ۳,۵ | ۲,۵ | ۲ | ۳ | ۲,۲۵ | ۱,۵ | ۳ | ۲,۲۵ | ۱,۵ | ۱ | نرخ افت فشار (بار برابر دقیقه) | |
| ۱,۸۲ | ۰,۸۶ | ۰,۳۹ | ۱,۶۹ | ۰,۸۷ | ۰,۲۲ | ۱,۷۸ | ۰,۸۴ | ۰,۳۹ | ۱ | بیشینه اختلاف فشار (بار) | |
| ۹,۱ | ۱۰,۳ | ۹,۷ | ۸,۵ | ۵,۹ | ۱۳,۳ | ۹,۴ | ۷,۷ | ۱۲,۷ | انحراف میانگین (میلی‌بار) | | |
| ۴,۵ | ۴ | ۳,۵ | ۴ | ۳,۵ | ۳ | ۴ | ۳ | ۲,۵ | ۱,۵ | نرخ افت فشار (بار برابر دقیقه) | |
| ۱,۹۵ | ۱,۳۹ | ۰,۷۷ | ۱,۷۶ | ۱,۲ | ۰,۶۴ | ۱,۸۸ | ۰,۸۱ | ۰,۳۷ | ۱,۵ | بیشینه اختلاف فشار (بار) | |
| ۱۱,۱ | ۸,۳ | ۱۰,۹ | ۹,۷ | ۱۰ | ۸,۴ | ۱۲,۱ | ۷,۵ | ۹,۹ | انحراف میانگین (میلی‌بار) | | |

برای قطر اوریفیس ۵ میلی‌متر و فشار اولیه ۴۰ بار:

$$\Delta P = ۰,۹۳\dot{P} - ۰,۱۷; R^t = ۱$$

برای قطر اوریفیس ۱ میلی‌متر و فشار اولیه ۴۰ بار:

$$\Delta P = ۰,۹۴\dot{P} - ۱,۱۲; R^t = ۰,۹۹۹$$

برای قطر اوریفیس ۱/۵ میلی‌متر و فشار اولیه ۴۰ بار:

$$\Delta P = ۱,۱\dot{P} - ۲,۴۲; R^t = ۰,۹۹۸$$

برای قطر اوریفیس ۵/۰ میلی‌متر و فشار اولیه ۶۵ بار:

$$\Delta P = ۰,۸۷\dot{P} - ۰,۲۳; R^t = ۰,۹۹۹$$

برای قطر اوریفیس ۱ میلی‌متر و فشار اولیه ۶۵ بار:

$$\Delta P = ۰,۹\dot{P} - ۱,۳; R^t = ۰,۹۹۸$$

برای قطر اوریفیس ۱/۵ میلی‌متر و فشار اولیه ۶۵ بار:

$$\Delta P = ۱,۲۵\dot{P} - ۳,۲; R^t = ۰,۹۹۹$$

برای قطر اوریفیس ۵/۰ میلی‌متر و فشار اولیه ۸۵ بار:

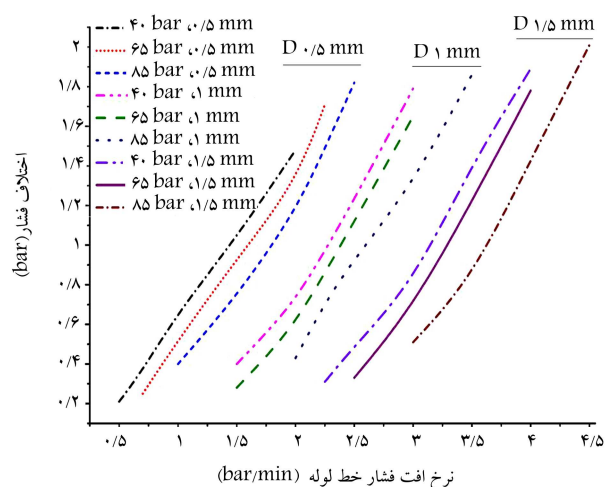
$$\Delta P = ۰,۹\dot{P} - ۰,۴۶; R^t = ۰,۹۹۹$$

برای قطر اوریفیس ۱ میلی‌متر و فشار اولیه ۸۵ بار:

$$\Delta P = \dot{P} - ۱,۶; R^t = ۰,۹۹۹$$

برای قطر اوریفیس ۱/۵ میلی‌متر و فشار اولیه ۸۵ بار:

$$\Delta P = ۱,۲۵\dot{P} - ۳,۴۷; R^t = ۰,۹۹۸$$



شکل ۱۳. اختلاف فشار طرفین شیر دیافراگمی بر حسب نرخ افت فشار ناشی از شکست خط با فشار اولیه خط لوله و قطر اوریفیس مختلف.

بیشینه‌ی خط (در زمان کارکرد عادی و در محل نصب شیر برای کمینه، نرمال و بیشینه‌ی فشارهای کاری خط لوله). نرخ افت فشار در شرایط کارکرد نرمال همواره از نرخ افت فشار در زمان شکست خط لوله در فشار کاری یکسان، کمتر است. در جدول ۳، فشار اولیه و بیشینه اختلاف فشار بر حسب بار، قطر اوریفیس بر حسب میلی‌متر، و نرخ افت فشار بر حسب بار برابر دقیقه است. تقریب خطی از منحنی‌های شکل ۱۳، نتایج قابل قبولی ارائه می‌دهد. روابط محاسباتی مربوط به شکل ۱۳ با دقت قابل قبول برمبنای باقی‌مانده‌های مشخص شده (R^t) در خطی سازی، ارائه شده است. می‌توان از روابط زیر برای تعیین نرخ افت فشار تنظیمی شیر کنترلی اتوماتیک بر حسب نرخ افت فشار خط لوله برای مقادیر مختلف قطر اوریفیس و فشار اولیه‌ی عملکردی خط لوله استفاده کرد. مقدار به دست آمده برای ΔP به منظور اعمال ضریب اطمینان و حذف خطای آزمایش با گاز نیتروژن در عدد ۰,۹ ضرب شود. در واقع، نتایج شکل ۱۳ با ضریب اطمینان ۱۰ درصدی برای شرایط عملکردی صنعت قابل استفاده است.

۵. کارکرد صنعتی

وسيع اين نوع عملگرها در خطوط انتقال نفت و گاز و اثر شريطي عملکردي و محلی عملگرها، تاکنون نتایج آزمایشگاهی معتبری در اين زمينه منتشر نشده است. در اين مقاله اين هدف با دست يابي به شكل ۱۳ محقق شد که روابط قابل قبول و دقیق نظری از اين شکل استخراج شد. از اين روابط می‌توان در تخمین سایر شريطي عملکردي که داده‌های آزمایشگاهی برای آن وجود ندارد، استفاده کرد. از مقادير به دست آمده در شکل ۱۳ به کمک ضریب اطمیناني ۱۰ درصدی می‌توان در تنظيم شيرکنترلي عملگر بهره برد. با ثابت بودن قطر اورييفيس و فشار اواليه خط لوله، هر چه نرخ افت فشار ناشي از شکست خط لوله بيشتر شود، اختلاف فشار طرفين شير ديافراگمي افزايش می‌يابد. با ثابت ماندن نرخ افت فشار ناشي از شکست خط لوله و كاهش قطر اورييفيس، اختلاف فشار بين مخزن مرجع و خط لوله که برابر با اختلاف فشار طرفين شير ديافراگمي است، افزايش می‌يابد. از سوي ديگر، سبب افزايش زمان دست يابي به ييشينه مقدار اين اختلاف فشار می‌شود. برای نرخ افت فشارهای شکست خط و قطر اورييفيس های ثابت، اختلاف فشار طرفين شير ديافراگمي با كاهش فشار اواليه خط لوله افزايش می‌يابد. زمان دست يابي به اختلاف فشار ييشينه برای مقادير مختلف از نرخ های افت فشار شکست و فشارهای اواليه خط لوله، يكسان است و تنها به اندازه قطر اورييفيس بستگي دارد. نمودار با ارزش اختلاف فشار ييشينه برحسب نرخ افت فشار شکست خط برای مقادير مختلف فشارهای اواليه خط لوله و قطرهای اورييفيس متغور است ارائه شده است که مبنای طراحی و تنظيم شيرهای كنترلي اتوماتيك تمام مکانیکی مورد استفاده در خطوط انتقال گاز است. هر قطر اورييفيس قادر است، يك محدوده خاصی از نرخ های افت فشار ناشي از شکست خط را حس کند و برای نرخ های خارج از اين محدوده، شير كنترلي اتوماتيك عکس العمل صحیح نشان نمی‌دهد، به همین منظور انتخاب قطر اورييفيس صحیح و مناسب برای شريطي عملکردي حاكم بر خط لوله بسیار ضروري است.

فهرست عالیم

| | | |
|-----------|-----------------|-------------------------------------|
| m | D | قطر اورييفيس |
| kg/s | \dot{m}_{ACC} | دبی جرمی خروجی از مخزن مرجع |
| kg/s | \dot{m}_{PL} | دبی جرمی خروجی از خط لوله |
| bar/min | \dot{P} | نرخ افت فشار خط لوله |
| bar/min | ΔP | اختلاف فشار تنظيمي |
| bar/min | PC | فشار سیال ورودی به عملگر شیر کنترلی |
| bar | PR | فشار سمت چپ دیافراگم (فشار بالا) |
| bar | PS | فشار سمت راست دیافراگم (فشار پایین) |
| s | t | زمان |

برای تنظيم سیستم تشخیص شکست خط لوله لازم است نرخ افت فشار بالاتری را نسبت به نرخ افت فشار ممکن الوقوع در زمان شريطي عملکردي نرمال سیستم و پایین تراز تمامی نرخ افت فشارهای ممکن الوقوع در زمان شکست خط لوله انتخاب شود. زمانی که نرخ افت فشار خط لوله و فشار کاري خط لوله مشخص شوند، می‌توان قطر اورييفيس را به کمک شکل ۱۳ معین کرد. البته حالات های مختلف دیگری جهت استفاده از اين شکل وجود دارد. برای مثال، ممکن است عملگری با قطر اورييفيس مشخص موجود باشد. با توجه به طراحی اواليه و شريطي عملکردي حاكم بر خط لوله می‌توان نرخ افت فشار غير نرمال را محاسبه کرد. حال برای فشارهای اواليه کاري خط لوله می‌توان نقدار اختلاف فشار تنظيمي عملگر را به دست آورد. نرخ افت فشار منتخب را روی محور افقی مشخص کرده و از اين نقطه خطی عمودی خارج می‌کنيم تا منحنی مربوط به فشار کاري مربوط به خط لوله را در بزرگ‌ترین اختلاف فشار ممکن در مجموعه منحنی های ارائه شده، قطع کند. از نقطه‌ی به دست آمده از تقاطع خط عمودی و منحنی، يك خط افقی رسم می‌کنيم تا محور عمودی را قطع کند. مقدار مشخص شده برای پارامتر اختلاف فشار تنظيمي در محدوده‌ی صفر تا $2/0$ مکاپاسکال خواهد بود. برای استفاده از اين نتایج در صنعت، مقدار پیشنهادی اختلاف فشار تنظيمي عملگر برای پیشگیری از به وجود آمدن تداخل و از بین بردن خطای استفاده از گاز نیتروژن به جای گاز طبیعی، درصد مقدار تعیین شده از شکل ۱۳ مطابق با روش بالاست. چگالی گاز طبیعی در شريطي استاندارد $9/0$ کيلوگرم بر مترمکعب و برای نیتروژن $1/25$ کيلوگرم بر مترمکعب است. می‌توان از روابط ذکر شده برای تعیین اختلاف فشار تنظيمي عملگر برحسب نرخ افت فشار خط لوله برای مقادير مختلف قطر اورييفيس و فشار اواليه عملکردي خط لوله استفاده کرد. مقدار به دست آمده برای ΔP به منظور اعمال ضریب اطمینان و حذف خطای آزمایش با گاز نیتروژن به جای گاز طبیعی در عمل باید برای يك قطر اورييفيس مشخص، شير دیافراگم را بر اساس مقدار اختلاف فشار در شکل ۱۳ تنظيم کرد.

۶. نتيجه‌گيري

در اين نوشتار اثر مشخصه‌های قطر اورييفيس، فشار اواليه و نرخ افت فشار ناشي از شکست خط لوله بر اختلاف فشار طرفين شير دیافراگم در شير کنترلی اتوماتيك با سیال عبوری گاز نیتروژن به صورت آزمایشگاهی بررسی شد. علی‌رغم کاربرد

پانوشت‌ها

1. gas tracer

2. pacific gas and electric company
3. San Bruno
4. San Francisco
5. Carlsbad

6. New Mexico
7. El Paso
8. Edison
9. New Jersey
10. Texas Eastern Transmission Corporation
11. Lancaster
12. Kentucky
13. differential pressure switch
14. reference Tank
15. pressure transmitter
16. filter separator

مراجع (References)

1. Nesbitt, B., *Handbook of Valves and Actuators: Valve and actuators selection*, Chapter 19, Butterworth-Heinemann, pp.425-432 (2011).
2. Zhang, P., *Advanced industrial Control Technology: A Handbook for engineers and researchers*, Sensors and actuators for industrial control, Chapter 1, pp.2-186 (2010).
3. Wang, G.H. and Zhang, W.F. "The determination method of proper value of pressure drop rate pipe for the fast block valve on pipeline", Ph.D. Thesis, China University of Petroleum Beijing (2004).
4. Wang, W.L., Gao, Y.H. and Lai, J.B. "Setting of pressure drop rate in pipe burst detection system on natural gas pipeline block valve", *Gas Heat*, **33**(7), pp.19-23 (2013).
5. Harriott, G.M. "Gas pipeline simulation: leak detection", In: Proc., 42nd Annual Meeting of the Pipeline Simulation Interest Group (PSIG), Pipeline Simulation Interest Group, Houston, TX (2011).
6. Noguerol, R. "Pipeline control modes and their effect on model-based leak detection", In: Proc., 42nd Annual Meeting of the Pipeline Simulation Interest Group (PSIG), Pipeline Simulation Interest Group, Houston, TX (2011).
7. Reddy, H.P., Narasimhan, S., Bhallamudi, S.M. and et al. "Leak detection in gas pipeline networks using an efficient state estimator. Part-I: theory and simulations", *Comput. Chem. Eng.*, **35**(4), pp. 651-661 (2011a).
8. Reddy, H.P., Narasimhan, S., Bhallamudi, S.M. and et al. "Leak detection in gas pipeline networks using an efficient state estimator. Part II. Experimental and field evaluation", *Comput. Chem. Eng.*, **35**(4), pp.662-670 (2011b).
9. Lacerda, S.A.M. and Elias, G.P., "The use of pipeline simulation to analyse the effects of a gas pipeline rupture", In: Proc., 41st Annual Meeting of the Pipeline Simulation Interest Group (PSIG), Pipeline Simulation Interest Group, Houston, TX (2010).
10. AL-Rasheed, M., Brell, A., Al-Qaffas, S. and et al. "Pipeline rupture consequences mitigation comprehensive study", In: Proc., 41st Annual Meeting of the Pipeline Simulation Interest Group (PSIG), Pipeline Simulation Interest Group, Houston, TX (2010).
11. Peekema, R.M. "Causes of natural gas pipeline explosive ruptures", *J. Pipeline Syst. Eng. Pract.*, **4**(1), pp.74-80 (2013).
12. Richards, F. "Failure analysis of a natural gas pipeline rupture", *J. Fail. Anal. Prev.*, **13**(6), pp.653-657 (2013).
13. Zuo, L., Jiang, F., Jin, B. and et al. "Value setting for the rate of pressure drop of automatic line-break control valves in natural gas pipelines", *Journal of Natural Gas Sciences and Engineering*, **26**, pp.803-809, (2015).
14. Phan, T.T. and Sawin, A.J., " Automatic Linebreak Control Valve Case Study." Proc., 43rd Annual Meeting of the Pipeline Simulation Interest Group (PSIG). Pipeline Simulation Interest Group, Houston, TX, (2012).
15. Marton, S., Fodor, S. and Sepehri, N. "A practical method for friction identification in hydraulic actuators", *Mechatronics*, **21**, pp.350-356 (2011).
16. Zhong, Li. K., L. Lu, K. and Ping, Y. "Thermal-hydraulic Modeling and Simulation of the Hydraulic System Based on the Electro-Hydrostatic Actuator", *Procedia Engineering*, **80**, pp.272-281 (2014).
17. Harris, P., Nolan, S., Garet E. and et al. "Energy optimisation of pneumatic actuator systems in manufacturing", *Journal of Cleaner Production*, **72**, pp. 35-45 (2014).
18. Guo, K., Wei, J., Fang, J. and et al. "Position tracking control of electro-hydraulic single-rod actuator based on an extended disturbance observer", *Mechatronics*, **27**, pp.47-56 (2015).